

УДК 519.9

Краснопольська Т. С.<sup>1</sup>, д. ф.-м. н., с. н. с.,  
Приходько Д. Ф.<sup>2</sup>, аспірант,  
Гуржій О. А.<sup>3</sup>, д. ф.-м. н., с. н. с.

### Нелінійні моделі коливань консольного стрижня з малою жорсткістю на згин

В статті побудовано дві моделі коливань консольного пружного стрижня з малою жорсткістю на згин. Одна модель враховує геометричну нелінійність, а друга – фізичну нелінійність.

Ключові слова: пружна система, згинна жорсткість, нелінійна модель.

<sup>1</sup> Інститут гідромеханіки НАН України,  
03057, м. Київ, вул. Желябова, 8/4  
e-mail: t.krasnopskaya@tue.nl

<sup>2</sup> Київський національний університет імені Тараса Шевченка, 03680, м. Київ, просп. Глушкова, 4 е  
e-mail: dmitry.prykhodko@gmail.com

<sup>3</sup> Національний технічний університет України "КПІ", 03056, м. Київ, просп. Перемоги, 37  
e-mail: a.gourjii@gmail.com

Дана робота присвячена розробці нелінійних моделей згинних коливань консольного стрижня, з настільки малою жорсткістю на згин, що – є "закритичним" [1, 2]. Насамперед, розглядається модель коливань стрижня з урахуванням геометричної нелінійності. Потім виводяться рівняння коливань з урахуванням фізичної нелінійності.

#### Нелінійна модель згинних коливань стрижня при врахуванні геометричної нелінійності

На рис. 1 показано схему однорідного пружного стрижня постійного поперечного перетину з консольним закріпленням. В недеформованому стані вісь стрижня співпадає з віссю  $x$  прямокутної системи координат  $xOy$ , початок координат знаходиться в закріпленні стрижня (рис. 1, а: початкове положення). При відсутності зовнішнього впливу, окрім рівномірно розподіленої сили ваги, гнучкий прямолінійний стрижень може втратити стійкість і його вісь викривляється (рис. 1, а), якщо  $mgL > 7,839EI/L^2$  ( $L$  – довжина стрижня,  $m$  – лінійна вага,  $EI$  – жорсткість на згин,  $g$  – прискорення вільного падіння,  $h$  – діаметр

T. S. Krasnopskaya<sup>1</sup>, Dr. Sci. (Phys.-Math.), sen. res.  
D. F. Prihodko<sup>2</sup>, PhD student,  
A. A. Gourjii<sup>3</sup>, Dr. Sci. (Phys.-Math.), sen. res.

### Nonlinear models of vibrations of cantilever bar with low bending rigidity

Two models of oscillations of a cantilever bar with low bending rigidity are constructed. One model takes in to account a geometrical nonlinearity, while the second model uses physical nonlinear properties.

Key Words: cantilever bar, bending rigidity, nonlinearity.

<sup>1</sup> Institute of Hydromechanics of NAS of Ukraine,  
03057, Kyiv, Zhelyabov st., 8/4,  
e-mail: t.krasnopskaya@tue.nl

<sup>2</sup> Taras Shevchenko National University of Kyiv,  
03680, Kyiv, Glushkova av., 4 e  
e-mail: dmitry.prykhodko@gmail.com

<sup>3</sup> National Technical university of Ukraine "KPI",  
03056, Kyiv, Peremoga av., 37  
e-mail: a.gourjii@gmail.com

поперечного перетину). Такий стрижень буде називатись "закритичним" [2, 5].

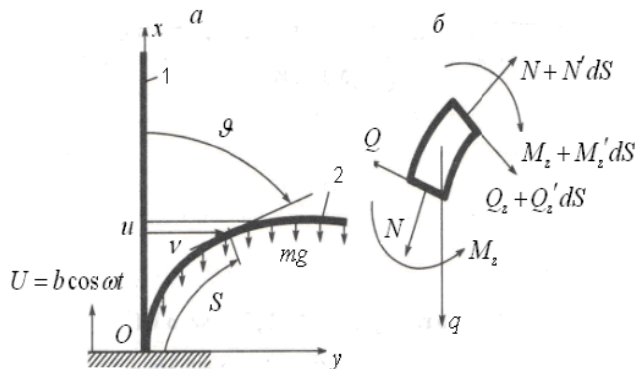


Рис. 1

Якщо надати основі стрижня вертикальні коливання  $U(t) = b \cos \omega t$ , то за рахунок збудження параметричних коливань можна стабілізувати прямолінійне (вертикальне) положення вісі шляхом підбору частоти  $\omega$  та амплітуди  $b$  вібрацій. Рух стрижня буде описуватись в рухомій системі координат  $xOy$ , початок якої жорстко зв'язаний з закріпленням стрижня (рис. 1, а). Враховуємо скінченні повороти його перетинів.

Припускаємо що поперечні перетини стрижня залишаються плоскими та перпендикулярними до zdeформованої осі, а нормальні напруження на ділянках паралельних осі дуже малі порівняно з повздовжніми напруженнями, вісь стрижня залишається нерозтяжною (гіпотеза Кіргофа).

Положення осі стрижня  $\mathbf{r}(t, s)$  можна подати в параметричній формі  $\mathbf{r}(t, s) = x(t, s)\mathbf{i} + y(t, s)\mathbf{j}$ , де  $t$  – час;  $s$  – натуральна координата осі стрижня, відлік від точки закріплення (рис. 1, а);  $\mathbf{i}, \mathbf{j}$  – одиничні орти осей координат. Умова нерозтяжності вісі стрижня записується у вигляді [2]:

$$\frac{\partial \mathbf{r}(t, s)}{\partial s} = \boldsymbol{\tau}, \quad \boldsymbol{\tau} \cdot \boldsymbol{\tau} = 1. \quad (1)$$

У подальшому похідну за дуговою координатою будемо позначати штрихом ( $\mathbf{r}' = \boldsymbol{\tau}$ ). У недеформованому стані вісь стрижня ( $\mathbf{r}^0(t, s) = x^0(t, s)\mathbf{i}$ ) співпадає з вертикальною віссю  $x$ . Виходячи з (1), отримаємо:  $\mathbf{r}^0(t, s) = s\mathbf{i}$ ,  $s \in [0, L]$ , де  $L$  – довжина стрижня. Вектор переміщення  $\mathbf{R}(t, s) = \mathbf{r}(t, s) - \mathbf{r}^0(t, s) = -u(t, s)\mathbf{i} + v(t, s)\mathbf{j}$ , де компоненти вектора переміщень

$$u(t, s) = s - x(t, s), \quad v(t, s) = y(t, s). \quad (2)$$

Додатним напрямком  $u$  є переміщення в протилежному напрямку до осі  $x$ . З визначення кута повороту навколо осі стрижня  $\vartheta$  (рис. 1, а) випливає, що  $\boldsymbol{\tau} = \mathbf{i} \cos \vartheta + \mathbf{j} \sin \vartheta$ , де  $\cos \vartheta = x'$ ,  $\sin \vartheta = y'$ . Приймавши до уваги (2), вираз для кривини  $\kappa = \vartheta'$  осі стрижня у zdeформованому стані в функції від прогину  $v$  набуває вигляду [2]

$$\kappa = v''(1 - v'^2)^{-1/2} \approx v''(1 + v'^2/2). \quad (3)$$

Осьове переміщення  $u$  можна виразити через поперечне переміщення  $v$ :

$$u' = 1 - \sqrt{1 - \sin^2 \vartheta} \approx \frac{1}{2}v'^2. \quad (4)$$

Вирази (3) та (4) описують геометричні нелінійності даної моделі. Доданками третього порядку малості й вище при розкладах в ряди нехтуємо.

Розглянемо дану систему за відсутності тертя. Для стрижня Бернуллі – Ейлера згинний момент  $M_z$  виражається через кривину зігнутої осі  $\kappa$  наступним чином:  $M_z(t, s) = EI\kappa(t, s)$ . Звідси, враховуючи (3), маємо

$$M_z = EIv''(1 + v'^2/2). \quad (5)$$

Нехтуючи інерцією кручення поперечних перетинів, з рівності для моментів у диференціальному вигляді  $M_z' + Q = 0$  з урахуванням (5) отримаємо вираз для повздовжньої сили:

$$Q = -EI[v''(1 + v'^2/2)]' = -EI(v'''' + v'^2 v'''/2 + v'v''^2). \quad (6)$$

Так як розглядаємо рух стрижня в рухомій системі координат, зв'язаній з основою стрижня, то до масових сил необхідно додати інерційну складову від переносного руху вздовж осі  $x$ . Тоді сумарне розподілене зовнішнє осьове навантаження (додатний напрямок проти осі  $x$ ) є

$$q_x(t) = m(g + \ddot{U}) = m(g - b\omega^2 \cos \omega t).$$

Рівняння поступального руху диференціального елемента стрижня (рис.1, б) (деформований стан в проекціях на осі  $x$  та  $y$ ) має вигляд

$$\begin{cases} m \frac{\partial^2 u}{\partial t^2} = -(N \cos \vartheta)' + (Q \sin \vartheta)' + q_x(t), \\ m \frac{\partial^2 v}{\partial t^2} = (N \sin \vartheta)' + (Q \cos \vartheta)'. \end{cases} \quad (7)$$

Перше рівняння системи (7) дозволяє знайти нормальну силу  $N$ . Враховуючи, що верхній кінець стрижня вільний від зовнішніх навантажень (тобто при  $x = L$ :  $N = 0$ ,  $Q = 0$ ), та нехтуючи доданками третього порядку малості, отримуємо вираз для нормальної сили

$$N = m \int_s^L d\bar{s} \frac{1}{2} \int_0^{\bar{s}} \frac{\partial^2 v'^2}{\partial t^2} d\bar{s} - EIv''v' - q_x'(t)(L - s)(1 + v'^2/2). \quad (8)$$

Із другого рівняння системи (7) з урахуванням (8), зберігаючи члени не вище третього порядку малості, отримаємо

$$\begin{aligned} m \frac{\partial^2 v}{\partial t^2} + EIv'''' + q_x(t)[(L - s)v']' = \\ = m \left[ v' \int_s^L d\bar{s} \frac{1}{2} \int_0^{\bar{s}} \frac{\partial^2 v'^2}{\partial t^2} d\bar{s} \right] - \\ - EI \left[ v'(v''v')' \right]' - q_x'(t)[(L - S)v'^3/2]. \end{aligned} \quad (9)$$

Рівняння (9) описує нелінійні поперечні коливання вертикально розташованого консольного стрижня з нерозтяжною віссю на віброуючій основі в полі сил тяжіння.

Крайові умови мають вигляд  $s=0$ :  $v=0$ ,  $\vartheta=0$ ;  $s=L$ :  $M_z=0$ ,  $Q=0$ , або з урахуванням (5) та (6):

$$\begin{cases} s=0: & v=0, & v'=0; \\ s=L: & v''=0, & v'''=0. \end{cases} \quad (10)$$

Для подальшого аналізу перетворимо рівняння (10) до безрозмірного вигляду, використовуючи такі заміни:

$$\tau = \frac{t}{L^2} \sqrt{\frac{EI}{m}}, \quad \zeta = \frac{s}{L}, \quad \xi = \frac{v}{h}, \quad \beta = \frac{b}{L},$$

$$\Omega = \omega L^2 \sqrt{\frac{m}{EI}}, \quad \varepsilon = \left(\frac{h}{L}\right)^2, \quad \gamma = \frac{mgL^3}{EI}. \quad (11)$$

Тоді рівняння (9) запишеться так:

$$\ddot{\xi} + \xi^{IV} + p(\tau) \left[ (1-\zeta) \xi' \right]' = \varepsilon \left\{ \xi' \int_{\zeta}^1 d\zeta_1 \int_0^{\zeta_1} (\xi'^2 + \ddot{\xi}') d\zeta_2 - \right.$$

$$\left. - \xi' (\xi'' \xi')' - p(\tau) (1-\zeta) \xi'^3 / 2 \right\}', \quad (12)$$

де  $p(\tau) = \gamma - \beta \Omega^2 \cos \Omega \tau$ . Точками позначаємо диференціювання за безрозмірним часом  $\tau$ , штрихами – за безрозмірною осью координатою  $\zeta$ .

Відповідно, крайові умови (10) приймуть вигляд

$$\zeta=0: \quad \xi=0, \quad \xi'=0; \quad \zeta=1: \quad \xi''=0, \quad \xi'''=0.$$

Розв'язок отриманого нелінійного рівняння (12) будується методом Гальоркіна у вигляді

$$\xi(\zeta, \tau) \approx \sum_{i=1}^n q_i(\tau) \varphi_i(\zeta), \quad (13)$$

де  $q_i(\tau)$  – амплітудна функція,  $\varphi_i(\zeta)$  – координатна, неперервна і чотири рази диференційована функція, що задовольняє крайові умови.

Після підстановки (13) у рівняння (12) і подальшій ортогоналізації нев'язки з координатними функціями на інтервалі  $\xi \in [0, 1]$ , отримуємо систему  $n$  звичайних диференціальних рівнянь для амплітудних функцій  $q_i(\tau)$ .

В якості координатних функцій використовуються форми поперечних коливань стрижня. Розв'язок задачі про власні поперечні коливання консольного стрижня має представлення не за допомогою функцій Крилова [5], а за допомогою функцій, що задовольняють [4] рівняння

$$\frac{\partial^4 \varphi_i}{\partial \zeta^4} + \gamma \frac{\partial}{\partial \zeta} \left[ (1-\zeta) \frac{\partial \varphi_i}{\partial \zeta} \right] - \gamma \lambda_n \varphi_i = 0. \quad (14)$$

Якщо параметр гнучкості  $\gamma > 7,839$ , то вертикальний стрижень, знаходячись під дією сили тя-

жіння, втрачає стійкість, і початкова прямолінійна форма його осі викривляється. Вертикальна форма осі стрижня може бути стабілізована за рахунок вібрації основи в вертикальному напрямі (D. Acheson, T. Mullin і співавтори, А. М. Гуськов і Г. Я Пановко). В наших чисельних розрахунках ми використовували значення параметра  $1/\gamma = 0,055$ , обрховане для сталевий проволочи, один сантиметр якої важить 0,12 г.

### Згинні коливання стрижня при нелінійному законі пружності

Досліджуємо коливання, які можуть виникнути при згині осі стрижня в площині  $(x, y)$ , причому використаємо нелінійну технічну теорію згину [3]. У цій теорії пружна поведінка стрижня характеризується нелінійним співвідношенням  $\sigma_x = f(\varepsilon_x)$ , що встановлює зв'язок між поздовжніми напруженнями  $\sigma_x$  і поздовжніми відхиленнями  $\varepsilon_x$  на основі випробувань матеріалу на розтяг – стиск. Крім того приймемо, що  $f(\varepsilon_x)$  має вигляд

$$f(\varepsilon_x) = E(1 - \alpha_3 E^2 \varepsilon_x^2) \varepsilon_x, \quad (15)$$

де  $E$  – модуль Юнга,  $K$  – модуль стиску,  $G$  – модуль зсуву,

$$E = \frac{9KG}{3K+G}; \quad \alpha_3 = -\frac{2}{9} \frac{3K}{3K+G} \frac{\gamma_2}{G^2};$$

$$\gamma_2 = -g_2 = -\frac{9}{2} G^2 \left( 1 + \frac{G}{3K} \right).$$

Позначимо прогин точки  $x$  осі стрижня в напрямку  $y$  в момент часу  $t$  через  $\eta(x, t)$ , згинний момент в цій точці – через  $M(x, t)$ , площу поперечного перетину  $Q$  – через  $F$  і густину матеріалу стрижня через  $\rho$ . Тоді незалежно від вигляду закону пружності, основним рівнянням динаміки для елемента  $dx$  стрижня в момент часу  $t$  буде

$$\frac{\partial^2 M}{\partial x^2} = -\rho F \frac{\partial^2 \eta}{\partial t^2}, \quad (16)$$

за умови, що можна не враховувати інерцію обертання елемента стрижня.

Згинний момент  $M = \iint_Q f(Ay) y dy dz$ , де  $A$  – кривина осі стрижня. Замінивши  $A$  другою похідною  $\partial^2 \eta / \partial x^2$  і враховуючи рівність (15), отримуємо

$$M(x, t) = E \iint_Q \left[ 1 - \alpha_3 E^2 \left( \frac{\partial^2 \eta}{\partial x^2} \right)^2 y^2 \right] \frac{\partial^2 \eta}{\partial x^2} y^2 dy dz, \quad (17)$$

де інтегрування проводиться по всьому поперечному перетину  $Q$  стрижня. Враховуючи осьовий момент інерції площі  $J_0 = \iint_Q y^2 dy dz$  і другу постійну  $J_2 = \iint_Q y^4 dy dz$  приведемо  $M(x, t)$  до вигляду

$$M(x, t) = EJ_0 \left[ \frac{\partial^2 \eta}{\partial x^2} - \alpha_3 E^2 \frac{J_2}{J_0} \left( \frac{\partial^2 \eta}{\partial x^2} \right)^3 \right]. \quad (18)$$

Підставивши цей вираз у рівняння (16), отримаємо для  $\eta(x, t)$  нелінійне диференціальне рівняння в частинних похідних

$$\rho F \frac{\partial^2 \eta}{\partial t^2} + EJ_0 \frac{\partial^4 \eta}{\partial x^4} - 3\alpha_3 E^3 J_2 \times \\ \times \left[ \frac{\partial^4 \eta}{\partial x^4} \frac{\partial^2 \eta}{\partial x^2} + 2 \left( \frac{\partial^3 \eta}{\partial x^3} \right)^2 \right] \frac{\partial^2 \eta}{\partial x^2} = 0. \quad (19)$$

#### Список використаних джерел

1. *Champneys A. Fraser B.* The 'Indian rope trick' for a parametrically excited flexible rod: linearized analysis. – Proc. R. Soc. London, 2000. – P. 553-570.
2. *Guskov A. M., Panovko G. Ya.* Vibrational stabilization of the vertical axis of a flexible shaft // Journal of Machinery Manufacture and Reliability. – 2006. – № 5.
3. *Kauderer H.* Nichtlineare mechanic. – Berlin: Springer, 1958.
4. *Krasnopolskaya T. S., Prihodko D. F., Gourjii A. A.* Dynamic characteristics of a cantilever bar with low bending rigidity // Bulletin of Kyiv University. Ser.: Phys.-Math. Sci. – 2012. – № 4. – P. 52-55. (in Ukrainian).
5. *Timoshenko S., Gere J.* Theory of elastic stability. – New York: McGRAW-HILL, 1961.

Якщо в перетинах стрижня діє повздовжня сила  $N(x)$ , і замість жорсткого закріплення стрижень здійснює вертикальні коливання вигляду  $a \cos \omega t$ , то повздовжня сила в перетині  $x$  дорівнює

$$N(x) = \rho F \left\{ g(l-x) + (l-x) \frac{\partial^2}{\partial t^2} (a \cos \omega t) \right\}. \quad (20)$$

Рівняння нелінійних згинних коливань стрижня записується в формі

$$EJ_0 \frac{\partial^4 \eta}{\partial x^4} + \rho F g \frac{\partial}{\partial x} \left[ \left[ (l-x) + (l-x) \frac{\partial^2}{\partial t^2} \left( \frac{a}{g} \cos \omega t \right) \right] \frac{\partial \eta}{\partial x} \right] - \\ - 3\alpha_3 E^3 J_2 \left[ \frac{\partial^4 \eta}{\partial x^4} \frac{\partial^2 \eta}{\partial x^2} + 2 \left( \frac{\partial^3 \eta}{\partial x^3} \right)^2 \right] \frac{\partial^2 \eta}{\partial x^2} + \rho F \frac{\partial^2 \eta}{\partial t^2} = 0. \quad (21)$$

На основі врахування геометричної та фізичної нелінійностей побудовані дві моделі нелінійних згинних коливань консольного закріпиченого стрижня.

Надійшла до редколегії 15.03.13